

## បរចាំនាច្រោម

- [1] John A. Duffie and William A. Beckman, 1991, Solar Engineering of Thermal Processes, Solar Energy Laboratory University of Wisconsin-Madison.
- [2] A. Rabl, 1985, Active solar collectors and their applications, Oxford University Press.
- [3] A. Fasulo, L. Odicino and D. Perello, 1986, Development of a CPC with low thermal losses, Laboratorio de Energía Solar, Universidad Nacional de San Luis, Escuela de Física.
- [4] Ari Rabl, 1976, Optical and thermal properties of compound parabolic concentrators, Solar Energy Group, Argonne National Laboratory, U.S.A.
- [5] A. Rabl, J. O'Gallagher and R. Winston, 1980, Design and test of non-evacuated solar collectors with compound parabolic concentrators, Enrico Fermi Institute, University of Chicago, U.S.A.
- [6] Jose A. Manrique, 2003, A compound parabolic concentrator, Instituto Tecnologico y de Estudios Superiores de Monterrey Department of Thermal Engineering Monterrey, Mexico.
- [7] M. Adsten, A. Helgesson and B. Karlsson, 2005, Evaluation of CPC-collector designs for stand-alone, roof- or wall installation, The Angstrom Laboratory, Uppsala University, Sweden.
- [8] M.J. Carvalho and group, 1994, Optical and thermal testing of a new 1.12X CPC solar collector, INETI-DER, Portugal.
- [9] Yong Kim, GuiYoung Han and Taebom Seo, 2007, An evaluation on thermal performance of CPC solar collector, Department of Mechanical Engineering, Inha University, South Korea.

## ภาคผนวก



ภาคผนวก ก  
ผลงานวิจัยที่ได้นำเสนอในงานประชุมวิชาการ

ISBN : 978-616-202-578-5

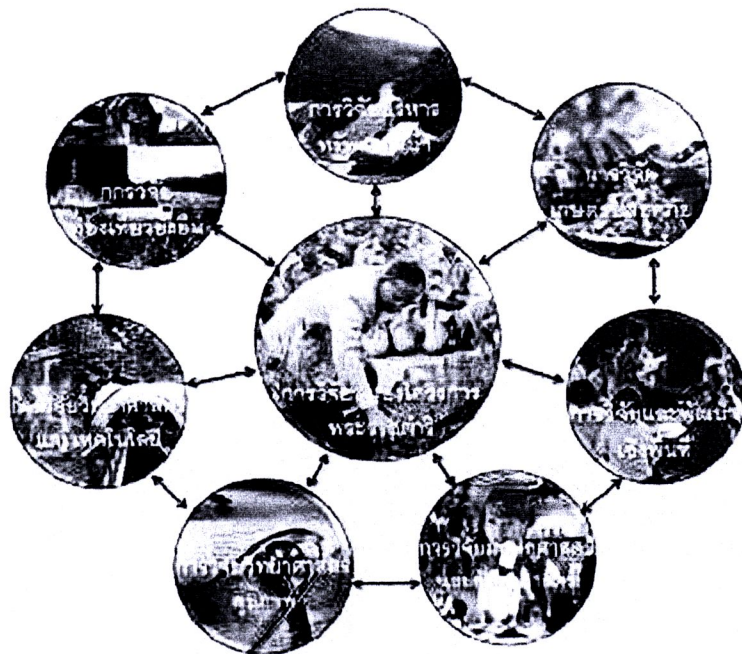


**Phayao**  
Research  
Conference

รายงานสืบเนื่องจากการประชุมวิชาการ (Proceedings)

# พะயາວ รีซีย ครັງທີ ۱

Proceedings of the 1<sup>st</sup> Phayao Research Conference



12-13 ປົກເຄມ 2555

ໃນ ອາຄາຣໂທຄືໄປໂລຍງຂາຮອບເກມະລາງການສ້ອງກາດ

ພະຍາວ ລາວ



การพัฒนาระบบการดูแลผู้ป่วยมะเร็งเต้านม โรงพยาบาลลำปาง (Development of Nursing System In Breast Cancer patient: Lamphun Hospital) [โดย วิไลพร ชรากุล, รันยา พ้อเปียง, กัญญา กิติกานต์ และอรุณ ใจวงศ์ล้ำ (Witakun Chaveesong, Ranya Noipeng, Kananya Kitikant and Arunrangsit)] .....434
ปัจจัยที่มีผลต่อการละหุ่งของสารต้านเม็ดสีในถุงน้ำมัน ไบซิลฟิดและวาร์ฟีโนเมทีด ให้กับถุงน้ำมันด้วยวิธีอ่อนหัก (Factors affecting the leaching of tetrachloroethylene, bis(2-chloroethyl)ether and zinc dimethyldithiocarbamate (ZDMC) from food contact rubber gloves) [โดย อรุภา ช้านาฎิกา และนันธร วิภารัตน์ (Ornapha Channatika and Banjong Wittayaweevararak)] .....444
การพัฒนาระบบการดูแลผู้ป่วยพยาบาลเข้าร่วมของการดูแลผู้ป่วย (Development of System for Prevention Suicidal Attempt Lamphun Hospital) [โดย วิไลพร ชรากุล, อัญชลี ศรีสุก, ปราสาท พรมพรม, ชัยพร กันหวังนา และ เตือนใจ วงศ์ล้ำ (Witakun Chaveesong, Anchalee Sirisuk, Prasarn Sanpram, Thunyaporn Kuntawanna and Tuanjai Vongsaek)] .....451
<b>รายงานฉบับเพื่อจากการประชุมพงษ์เจริญ (กลุ่มวิจัยวิทยาศาสตร์และเทคโนโลยี) .....461</b>
ความหลากหลายพืชในชุมชนป่าเบญจรงค์ ในพื้นที่การเกษตรท้องถิ่นของประเทศไทย (Species diversity of Begonia L. In upper northern Thailand) [โดย กฤตยา ศรีภูเบศ, อัญชลี คงวันวิชิร และ ปราดี นางงาม (Kritya Siribhuse, Anchalee Kongwanwichit and Pradee Naengnam)] .....462
An Adaptive Markov Inventory Model In Supply Chain [โดย Chakkharongchana, Potejanesak Potejana and Nutthida Pernrat] .....478
การวิเคราะห์การไหลของฟอสฟอรัสในระบบหนองน้ำ: การตีกรายงานเข้าร่วมพื้นที่การเกษตร (Material Flow Analysis of Phosphorus In Paddy Field system: Paddy Field near Phayao Lake Watershed Case Study) [โดย จันทร์รัตน์ ชัยอัจฉริย และ วนิชชา จันทร์รัตน์ (Jantrarot Chayachai and Napat Jantrarot)] .....487
การผลิตถ่านหินมีหัวตัวกามเม็ดล้วนโดยการตีก้อนหินด้วย (Production of Activated Carbon from Longan Seed by Chemical Activation) [โดย ณัฐวิภา วงศ์รักษา และ ราษฎร์ วิทิตศานต์ (Nattavipa Changrak and Tharee Witsan)] .....492
เครื่องต้นแบบกังหันพัดลมงานแฝงภาคใต้: การตีกรายงานเข้าร่วมเบื้องต้น (The Prototype of a Solar Water Turbine: A Case Study of a Catfish Pond) [โดย มนต์ พนพากษา, จิรภัทร์ ภูริวัฒน์ และ เก่ง ชะลา (Thanut Northoputha, Jirasat Phookiatpong and Geen Chalaa)] .....502
การซักหัวพวงอิฐด้วยตัวกามเคลือบด้วยมุ่ย (Jatropha curcas L.) โดยการตีก้อนหินด้วย (Induction of Polyploidy from Callus Cultures of Jatropha curcas L. by Colchicine Treatment) [โดย พาริษิตา ลิงค์กุล, ศรีพันธ์ เพรเมศ์ และ ดวงดาว เพรเมศ์ (Parisita Linkang, Sriporn Premet and Duangdom Premet)] .....509



การประยุกต์ใช้เทคโนโลยีวิเคราะห์ข้อมูลเพื่อการผลิต米谷在 Lower Northern Thailand) โดย พัชราภา รังษากุล, ธาราพร รุ่งรัตน์อุบล และ อรุณ่า เทศวันนน (Phatsaraphon Khaensakhom, Jaratip Rungrattanakulbol and Orasa Tetwana).....	517
การศึกษาความเป็นไปได้ของการผลิตถ่านจากหญ้าหางนกยูง (Feasibility study for charcoal production from Manilagrass) โดย วิภาดา วันสุวรรณ, ชาติ กลั่นวิมาน และ พิชัย มนต์ไชย.....	533
ชุดเครื่องจ่ายไฟฟ้าแบบควบคุมด้วยระบบควบคุมเพื่อขับรับใช้งานให้กับปฎิบัติการอิเล็กทรอนิกส์กำลัง (A General Purpose Phase Control Rectifier Set-up for Power Electronics Laboratory Experiments) โดย ธนาพันธ์ อุไรรักษ์ และ บุญราษฎร์ ชัยราษฎร์ (Anuphat Ubesan and Yutthana Kurngsuphan).....	544
การประยุกต์ใช้เทคโนโลยีการวิเคราะห์ผู้ใช้สำหรับการแปลภาษาด้วยเครื่อง (An Application of Microsystems of Lexical Morpho-syntactic Analysis In Machine Translation) โดย น้ำรัชดา ภิรัชติบุตร (Raksri Kitributra) .....	550
การประยุกต์ใช้เทคโนโลยีการคำนวณเชิงเส้นเพื่อการผลิต米谷在 Lower Northern Thailand) โดย รังษีพันธ์ ยะฤทธิ์รัชัย, ธาราพร รุ่งรัตน์อุบล และ อรุณ่า เทศวันนน (Rangsiphat Yongsuwanchai, Jaratip Rungrattanakulbol and Orasa Tetwana).....	558
การสร้างเครื่องจ่ายไฟฟ้าแบบตัวเรียงตัวหนึ่งที่สามารถตัวต้านทานกับตัวต้านทานและการประยุกต์ใช้งาน (A Synthesis and Design of Series Inductance with Resistance Simulator and Its Application) โดย วนิษฐ์ ใจเบิง, ชาติรุ่ง ยะเรืองพันธ์ และ ประโภชน์ ภูมิกร้า (Witthayachai Jeabeng, Chanthanoo Jareampam และ Prayoon Poonkae).....	572
การลดมลพิษในผ้าเสื้อจากการรีบบ้านการผลิตในโรงเชลล์โดยกระบวนการกรองด้วยกากกระดูกซึ่งดัดแปลงโดยชีโร่ชราฟ (Reduction of pollutants in wastewater from biodiesel production plant adsorption with chitosan) โดย วิภาวดี พักก้าว ภูริชัย และ นวดี ทุ่นเงิน (Wiwatda Platpoolsil and Mai Hunsorn).....	578
ผลกระทบของตัวรับเรืองรั่วที่มีแบบบูรณาการบนพารามิเตอร์ความร้อนของท่ออุตสาหกรรม (Effect of Compound Parabolic Solar Concentrator on Thermal Performance of Evacuated Tube) โดย วิภาวดี พักก้าว, ชาติรุ่ง ยะเรืองพันธ์, อุตติ ลุ่มใจ และไชยากรุ่ง เหลาเดช (Wiwat Chantachai, Jaratip Rungrattanakulbol, Utthi Lomjai และ Chaiyakrueng Leesadach).....	592
การวิเคราะห์การไหลเวียนคุณภาพน้ำและการจัดการขยะ ชุมชนท้องถิ่นบ้านป่าขนาน จังหวัดแม่ฮ่องสอน (Material Flow Analysis of Resource and Waste Management In Pasang Municipality, Maechan District, Chiang Rai) โดย บุญรัตน์ ปุริวัน อดีตนายก จังหวัดแม่ฮ่องสอน (Bunruth Puriwan อดีตนายก จังหวัดแม่ฮ่องสอน).....	600
วงจรกำลังที่เกิดขึ้นในวงจรค่าคงที่และวงจรค่าคงที่ควบคุมความถี่และผิ่วงโดยใช้การกำลังอัลตราโซนิก ที่มีร่างอิเล็กทรอนิกส์ต่อ กับ CCCCTA กับ CCCII (Current-mode Quadrature Sinusoidal Oscillator with Independent control of Frequency of oscillation and condition of oscillation using CCCCTA and CCCII) โดย อดิศร กาฬสินธุ์, วิรุณิช รัตน์พันธ์, บริวารันน์ ถุราภรณ์ และวินัย ชนกัลก์ (Adisorn Kwewsinsin, Weerawat Kannat, Leerawat Suparat และ Winai Bomsak).....	606



กรุณาวิจัยวิทยาศาสตร์และเทคโนโลยี

## ผลกระทบของตัวรับรังสีอาทิตย์แบบบูรณา娉ประกอบพารามิเตอร์ต่อสมรรถนะเชิงความร้อนของท่อสูญญากาศ

### Effect of Compound Parabolic Solar Concentrator on Thermal Performance of Evacuated Tube

วิวัฒน์ ธรรมรงค์<sup>1</sup>, สารวิช คงราษฎร์<sup>1</sup>, สุรุษฐ์ อุรุ่ใจ<sup>1</sup> และไพรพูล เหล่าดี<sup>1</sup>

Wiwat Charsa-ard<sup>1</sup>, Soravit Sonsaree<sup>1</sup>, Sukruedee Sukchai<sup>1</sup> and Paitoon Laodee<sup>1</sup>

#### บทคัดย่อ

งานวิจัยนี้ศึกษาผลกระทบของตัวรับรังสีอาทิตย์แบบบูรณา娉ประกอบพารามิเตอร์ต่อสมรรถนะเชิงความร้อนของท่อสูญญากาศในภาวะที่มีความชื้นต่ำต้น ในการศึกษาที่มีแบบจำลองทางคณิตศาสตร์ให้ได้รูปแบบพื้นฐานที่มีผลลัพธิ์ทางเชิงพื้นฐานตามที่ต้องการ ตัวรับรังสีอาทิตย์แบบบูรณา娉ประกอบพารามิเตอร์มีค่าเท่ากับ ( $\alpha$ ) 10-50° และอัตราความร้อนที่ต้องระบาย ( $F_{in}$ ) วันละ 0.5-4.5 ผลงานนี้บรรยายว่า เมื่อถ้า角ของแกนที่ตั้งของบูรณา娉 ( $\alpha$ ) และอัตราความร้อนที่ต้องระบาย ( $F_{in}$ ) เพิ่มขึ้นแล้วจะมีประสิทธิภาพเชิงคณิตศาสตร์ของตัวรับรังสีอาทิตย์เพิ่มขึ้น (หรือค่าผลไฟฟ้าอิเล็กทรอนิกส์สูงขึ้น) ให้รับแสงอาทิตย์ด้วยจำนวนที่มากขึ้น โดยถ้าตั้งอุปกรณ์อยู่ที่ 각เท่ากับ 50° และ 4.5 ลานต่อวัน จะส่งผลให้มีประสิทธิภาพ เชิงคณิตศาสตร์มีค่าเท่ากับ 70.4% และสามารถลดระยะเวลาเพื่อได้รูปแบบระบบ เมื่อตั้งไฟฟ้าอิเล็กทรอนิกส์ให้ต่อกับบูรณา娉 ( $\alpha$ ) 10° เพื่อให้รูปแบบของบูรณา娉 1 ชั่วโมง ให้เกิดความเร็วของร่องรอยที่มีความแตกต่างกัน 3 คะแนน ( $H$ ) ความสูงของร่องรอยที่มีค่า ( $H$ ) 7.76 เมตรต่อมุม ( $\alpha$ ) ความสูงของร่องรอยที่มีค่า ( $H$ ) 4.25 เมตรต่อมุม และ ( $\alpha$ ) ไม่มีร่องรอยที่มีความสูงมากกว่า 1.50 เมตร และได้รูปแบบที่มีความต้องการต้องการตั้งแต่ 20-50° ต่อไปนี้เป็นร่องรอยที่ต้องการตั้งแต่ 10-50° ตามที่ตั้งของบูรณา娉 เหตุผลที่ต้องตั้งอยู่ในช่วงเวลา 10.00-16.00 น. ซึ่งรัศมี ( $2\pi/\sin(\alpha)$ ) พบว่า แสงรับรังสีอาทิตย์แบบบูรณา娉ประกอบพารามิเตอร์มีความสูงประมาณ 3.63 เมตร เมื่อตั้งไฟฟ้าอิเล็กทรอนิกส์ที่ต้องการให้มีความสูงเท่ากับ 51.3°C เมื่อตั้งไฟฟ้าที่ต้องการให้มีความสูงเท่ากับ 30°C ต้องมีร่องรอยทางการวิเคราะห์ความร้อน 1,930 kJ.

คำสำคัญ: ตัวรับรังสีอาทิตย์แบบบูรณา娉ประกอบพารามิเตอร์, ตัวรับรังสีอาทิตย์แบบบูรณา娉, ระบบผลิตไฟฟ้า, พัฒนาและทดสอบ

#### Abstract

This research is to study the effect of a compound parabolic solar concentrator (CPC) on thermal performance of an evacuated tube to increase heat. In this study, the mathematical model is used to analyze optical efficiency of the compound parabolic solar concentrator with half - angle ( $\alpha$ ) 10-50° and beam to diffuse insolation factor ( $F_{in}$ ) of 0.5-4.5. The analysis was found that the acceptable values of half-angle ( $\alpha$ ) and the beam to diffuse insolation factor ( $F_{in}$ ) of CPC were increased, which resulted in increasing its optical

<sup>1</sup>สถาบันพลังงานทดแทน มหาวิทยาลัยราชภัฏพระยาภิรมย์ 1, ถนนสุขุมวิท 35 ถนนสุขุมวิท 35 ถนนสุขุมวิท 35

School of Renewable Energy Technology (SERT), Narathiwat University, Phitsanulok 65300, Thailand.

E-mail: wiwat\_sert@hotmail.com





## ພະແນກវິຊາ 1

ພະແນກວິຊາ 1 ຜົບມືລັງພົດເປົ້າດີ

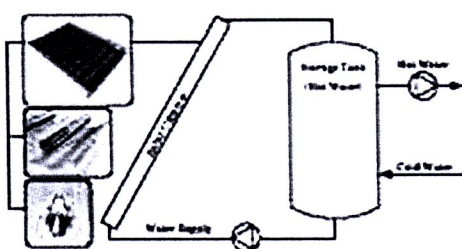
ເມື່ອຕົ້ນ ທີ່ໄດ້ມີຄູ່ຮັບຮັກງ່າວຄ່າການສົກຫາລົງກ່າວຈ່າຍໄດ້ໄດ້ຕົວເກີນຮັບຮັກກ່າວທີ່ແນ່ງຫຼຸປ່າຍກອນພາරາໂນລາຫຼີມຄວາມຖານຂອງທີ່ຈະນໍາມາປະຕິບຸງດີໃຈ່ຈານໃນໂຮງງານອຸທະກການທີ່ເນັດໄວ້ກ່າວໃໝ່ໄຟ່ມີຫຼຸດຫຼຸດຫຼຸດໃດໆ

### ພົດເປົ້າດີໃໝ່ຂ່າຍ

ສະນັບຜົດໜ້າດັ່ງດ້ວຍຕົວເກີນຮັບຮັກກ່າວທີ່ແນ່ງຫຼຸປ່າຍກອນພາරາໂນລາ ຮະນັບປະກອບໄປດ້ວຍ ດັ່ງດີນວິວ໌ຮັບຮັກກ່າວທີ່ມີຫຼຸດຫຼຸດໃໝ່ຂ່າຍຂອງຮັບຮັກກ່າວ (Heat Pipe Evacuated Tube Collector), ແລະ ອັນມີຮັບຮັກກ່າວທີ່ມີພົດເປົ້າຮັບຮັກກ່າວທີ່ແນ່ງຫຼຸປ່າຍກອນພາරາໂນລາ (Concentric Parabolic Concentrator, CPC) ແລະ ອັນມີຮັບຮັກກ່າວທີ່ມີການຮ່າງຂາຍຮັບຮັກກ່າວ (Absorber Tank) ໂດຍກ່າວໃໝ່ແລະກະໜນ ຕີ່ມີການຮ່າງຂາຍຮັບຮັກກ່າວທີ່ມີຂອກຄອບນຳທີ່ຕົວເກີນຮັບຮັກກ່າວທີ່ຈະຕາຍກວາມຮ່ອນໃໝ່ກ່າວຂ້າງ ແລະ ມີຫຼຸດຫຼຸດທີ່ເພີ້ມຄູ່ຂ່າຍໄລ່ໂລຢະແນນລັດຖານີ້ດັ່ງຕົວເກີນຮັບຮັກກ່າວທີ່ແນ່ງຫຼຸປ່າຍກອນພາරາໂນລາ ແລະ ດັ່ງນີ້:

### ຕົວເກີນຮັບຮັກກ່າວທີ່ມີພົດເປົ້າຮັບຮັກກ່າວ

ຕົວເກີນຮັບຮັກກ່າວທີ່ມີພົດເປົ້າຮັບຮັກກ່າວ ເປັນດັ່ງກໍ່ມີການຮ່າງຂາຍຮັບຮັກກ່າວທີ່ມີຫຼຸດຫຼຸດ (concentrator) ປີ່ມີຫຼຸດຫຼຸດໃໝ່ຈານໄສ້ກາງ (100-300 °C) ໂດຍມີການຮ່າງຂາຍຮັບຮັກກ່າວທີ່ມີການຮ່າງເພີ້ມເພື່ອຈັກໃນໄປສະໜອນ 2-10 ພາກ ໂດຍໃນທຳມັນດີກ່ອງທີ່ກ່າວກ່າວທີ່ມີການຮ່າງຂາຍຮັບຮັກກ່າວ (heat pipe concentrator) ຢັ້ງຄາວກະດວນໃຫ້ກ່າວກ່າວທີ່ມີຫຼຸດຫຼຸດແນ່ງຫຼຸດຫຼຸດສ໌ຫົວຈະໄດ້ມັກຄົນ ແລະໄນ້ດັ່ງກ່າວກວາມພົດເປົ້າດີດັ່ງນີ້ໃນກາຮ່າງນາຍທີ່ມີຫຼຸດຫຼຸດກ່າວທີ່ມີພົດເປົ້າດີ



### ກ່າວມີລັງພົດເປົ້າຮັບຮັກກ່າວທີ່ມີພົດເປົ້າດີ

ຮູບ 1 ສະນັບຜົດໜ້າດັ່ງດ້ວຍຕົວເກີນຮັບຮັກກ່າວທີ່ມີພົດເປົ້າດີ

CPC ມີລັງພົດເປົ້າຮັບຮັກກ່າວທີ່ມີພົດເປົ້າດີ (CPC) ຮະນັບຫຼຸດຫຼຸດກ່າວກ່າວທີ່ມີພົດເປົ້າດີ ແລະ ຩັ່ງນີ້

$$\text{CA}_{\text{CPC}} = \frac{\pi}{2 \cos \theta} \quad (1)$$

ກ່າວມີລັງພົດເປົ້າຮັບຮັກກ່າວທີ່ມີພົດເປົ້າດີ ຈະມີຄວາມຄືກ່າວກ່າວທີ່ມີພົດເປົ້າດີ (H) ຄວາມຄາວໄຟສັດ ດັ່ງລົງໝັ້ນຕົວເກີນຮັບຮັກກ່າວທີ່ມີພົດເປົ້າດີ (α) ຂອບລັງຫຼຸດຫຼຸດປົກກ່າວກ່າວທີ່ມີພົດເປົ້າດີ (ລັກສ້າງຫຼຸດຫຼຸດ ຫຼຸດທີ່) (δ) ແລະ ປັບປຸງກ່າວກ່າວທີ່ມີພົດເປົ້າດີ (Isolator Tube) ທີ່ກ່າວກ່າວເຖິງກ່າວກ່າວກ່າວແລະກ່າວກ່າວທີ່ມີພົດເປົ້າດີ:

ຄວາມພົດເປົ້າດີ (H):

$$H = \left| \frac{\pi}{2} + \frac{1}{2} \frac{1}{\tan \theta} - \frac{1}{\tan \theta \cos \theta} \right| \quad (2)$$

ຄວາມນາວໄຟສັດ (α):

$$\beta = \frac{\pi}{2} \quad (3)$$

ຄວາມນາວໄຟສັດຂອງພົດເປົ້າດີ:

$$\delta C = A \left( \frac{\pi}{2} \right) \left( \alpha \sin \theta \times \theta + \frac{\pi}{2} \right) \quad (4 \text{ (a)})$$

$$\delta C = \frac{\left( \frac{\pi}{2} \right) \left[ \left( \alpha \sin \theta \times \theta + \frac{\pi}{2} \right) - \cos(\theta - \alpha) \right]}{1 + \tan(\theta - \alpha)} \quad (4 \text{ (b)})$$

$$\alpha \sin \theta \times \theta + \frac{\pi}{2} < \theta < 1 - \frac{\pi}{2} - \theta,$$

ຄວາມຮັບທີ່ກ່າວມີພົດເປົ້າດີຂອງພົດເປົ້າດີ

ພົດເປົ້າດີໃໝ່ຂ່າຍຮັບຮັກກ່າວທີ່ມີພົດເປົ້າດີ: ດັ່ງເກີນຮັບຮັກກ່າວທີ່ມີພົດເປົ້າດີສໍາເລັກທີ່ມີປີ່ເປົ້າຮັບຮັກກ່າວທີ່ມີພົດເປົ້າດີ ຕັດກັນທີ່ໃຫຍ່ໄປຢັ້ງໄດ້ດ້ວຍກ່າວກ່າວທີ່ມີພົດເປົ້າດີ ຕັດກັນທີ່ໄດ້ຈຳນວຍໄດ້ຫຼຸດຫຼຸດໃຫຍ່ທີ່ໃຫຍ່ໄດ້ດ້ວຍກ່າວກ່າວທີ່ມີພົດເປົ້າດີ ຖ້າມີຫຼຸດຫຼຸດທີ່ມີພົດເປົ້າດີ ຕັດກັນທີ່ໄດ້ຈຳນວຍໄດ້ຫຼຸດຫຼຸດໃຫຍ່ທີ່ໃຫຍ່ໄດ້ດ້ວຍກ່າວກ່າວທີ່ມີພົດເປົ້າດີ ທີ່ກ່າວກ່າວທີ່ມີພົດເປົ້າດີ ຕັດກັນທີ່ໄດ້ຈຳນວຍໄດ້ຫຼຸດຫຼຸດໃຫຍ່ທີ່ໃຫຍ່ໄດ້ດ້ວຍກ່າວກ່າວທີ່ມີພົດເປົ້າດີ





## ພະຍາວິຊາ 1

ກວ່າມວິວວັດທະນາຮອບຮັນແລະທະໂນໂວຍ

$$\theta_s = 4, FR \left[ z - \frac{U_s}{CR} (T_{f_s} - T_s) \right] \quad (5)$$

$$= ICR \times \rho \gamma (z \rho) - U_s (T_f - T_s)$$

$$\frac{U_s}{\rho \gamma (z \rho)} = \frac{ICR}{(T_f - T_s)} \quad (6)$$

$$\theta_s = \rho C_p (T_f - T_s) \quad (7)$$

ປະສົງຫຼັກກາຫວຸ້ງດ້າວານຮັງວິວາທີສ່ວນຍູ້ປັບ  
ປະກອບພາກໃນລາ

ໃນການວິເຄາະທີ່ດ້າວານຮັງວິວາທີສ່ວນຍູ້ປັບ  
ປະກອບພາກໃນລາ ໂຄງທີ່ໄປດ້າວາປະຈິບອີກາພິມ  
ເປົ້າຂຶ້ນໄປຕາມກາຫວຸ້ງຊູ້ເຊື້ອເຊົ່າກັນທາຍເຊີ້ນ (Optical  
Losses) ແລະກາຫວຸ້ງຊູ້ເຊື້ອເຊົ່າກັນທາຍເຊີ້ນ (Thermal  
Losses) ພາຍໃນກາຫວຸ້ງ Hirsch-Whitaker-EK22 ກ່າວໆທີ່

$$\theta_s = \frac{\rho}{G_s A_s} \quad (8)$$

$$\text{ພິວອ} \quad \theta_s = \frac{\rho ICR (T_f - T_s)}{G_s A_s} \quad (9)$$

$$\text{ພິວອ} \quad \theta_s = \frac{4, FR \left[ z - \frac{U_s}{CR} (T_{f_s} - T_s) \right]}{(G_s A_s)} \quad (10)$$

$$\text{ພິວອ} \quad \theta_s = FR \left[ \frac{U_s}{CR} - \frac{U_s (T_{f_s} - T_s)}{G_s A_s} \right] \quad (11)$$

## ກວ່າມວິວວັດທະນາຮອບຮັນແລະທະໂນໂວຍ

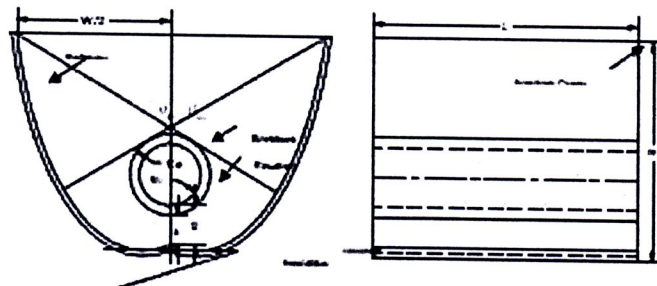
(2) ນໍາຄອກຫຼີດຈຳການກາຫວຸ້ງໃນການ  
ຮອບຮັນຍູ້ປັບປະກອບພາກໃນລາ  
ເພື່ອຈໍາເລັດກາຫວຸ້ງຮອບຮັນຜົດນໍາຮັດຮັກດ້າວາ  
ຫ້າກວຸ້ງຈາກວິວາທີ່ໄດ້ອົກແນມນຮອບຮັນຫຼັກຂອງວິວາ  
ຕີ່ໄດ້ໃຫ້ກອບຮັນຍູ້ປັບປະກອບພາກໃນລາທີ່ມີຄົງຢູ່ຮັກ  
(a)  $10^\circ$  ໂຄງທີ່ຮອບຮັນຜົດນໍາຮັດຮັກ ທີ່ມີກວາມ  
ຮອບຮັນຍູ້ປັບປະກອບພາກໃນລາ  
(b)  $7.76$  ໂຄງທີ່ມີກວາມຮອບຮັນຍູ້ປັບປະກອບພາກໃນລາ  
(c) ກວາມຮອບຮັນຍູ້ປັບປະກອບພາກໃນລາ  
(d)  $4.25$  ໂຄງທີ່ມີກວາມຮອບຮັນຍູ້ປັບປະກອບພາກໃນລາ  
[ດັ່ງນໍາຮັດຮັກທີ່ 3] ແລະ (e) ໄພມີກວາມຮອບຮັນຍູ້ປັບປະກອບພາກໃນລາ  
[ດັ່ງນໍາຮັດຮັກທີ່ 3] ໂຄງທີ່ຮັບຮັບຫຼັງຈາກມີກວາມນໍາມາ  $1.50$   
ເມັດ ແລະວັງເກີນກໍາໄວ້ກໍາໄວ້ທີ່ຜົດນໍາຮັດຮັກ  
 $20^\circ$  ດີວ້າ ຕື່ອຕັ້ງປະຕິວິວາດີວ້າວັງຫຼັງຈາກກອບກັນ  
ພາກໃນລາອື່ນແລກວາງ ຈັກກົດທີ່ຈຸດໂຄກ ໂຄງເນີນທ່ານຸ່ມ  
 $16^\circ$  ກັນແນວວະດີ ທັນທີ່ໄປການທີ່ດີ

### ວິຊີ່ດໍາເຫີນກາຫວຸ້ງ

ຈາກວິຊີ່ດໍາເຫີນກາຫວຸ້ງດໍາເນີນກາຫວຸ້ງຂອງມີນ 2  
ສານ ຕີ່ (1) ຈຳວັນຍົນຈໍາດັວອງຫາງກົດເພື່ອກົດ  
ໃຫ້ເກາະທີ່ປະຈິບອີກາພິມເຊົ່າກັນທາຍເຊີ້ນເນື້ອໄຂຫຼັກ  
ຊູ້ເກາະທີ່ມີຮັບຮັດເຊົ່າຜົນສູງເຖິງຄານ 47 ພິບຕົມມາ  
ໂຄບກັນຄົດຮັບຮັບຮັກຕີ່  $\theta_s$   $10-50^\circ$  ໂຄງທີ່ມີກວາມ  
ຮັບຮັດຮັກສົງເຫຼືອຮັບຮັກ (F<sub>sh</sub>)  $0.5-4.5$  (ດໍາລົງທີ່ຈາກ  
ການໃຈ້ຍທີ່ເກີ່ວຂັ້ນ) ໂຄງທີ່ດໍາເຫີນເບື່ອງດ້ານພະຍານດັ່ງນັ້ນ  
 $2$  ແລະກາງຈະ  $1$

ຮູ່ 3 ແຜນກັນຈັດວິວາທີ່ສ່ວນຍູ້ປັບປະກອບພາກໃນລາ  
ກວາມຮັບຮັດຮັກ  $H$   $7.76$  cm.

ຮູ່ 4 ແຜນກັນຈັດວິວາທີ່ສ່ວນຍູ້ປັບປະກອບພາກໃນລາ  
ກວາມຮັບຮັດຮັກ  $H$   $4.25$  ໂຄງທີ່ມີກວາມ



รูป 2 ภาพหน้าตัดหัวเก็บรังสีร้อลล์เมมบรานไปรษณีย์แบบไม้ (ร)

ตาราง 1 ข้อมูลทางเชิงคณิตของวัสดุที่ใช้ในการคำนวณค่าคงที่ร้อยละเมมбрานไปรษณีย์แบบไม้

ตัวแปร	ค่าคงที่	ค่า	หน่วย	ตัวแปร	ค่าคงที่	ค่า	หน่วย
Aperature resistance	$\alpha_1$	0.05		Aperature resistance	$\beta_1$	0.05	
Envelope resistance	$\alpha_2$	0.05		Envelope resistance	$\beta_2$	0.10	
Reflector resistance	$\alpha_3$	0.05		Reflector resistance	$\beta_3$	0.10	
Receiver resistance	$\alpha_4$	0.07		Receiver resistance	$\beta_4$	0.10	
Aperature transmission	$\gamma_1$	0.10		Reflector conductivity	$k_1$	250.00	$\text{A} \cdot \text{m}^{-1}$
Envelope transmission	$\gamma_2$	0.10		Reflector thickness	$S_1$	$5 \times 10^{-3}$	
Aperature reflection	$\rho_1$	0.05		Concentrator axial length	$L$	1.50	
Envelope reflection	$\rho_2$	0.05		Receiver radius	$R_1$	$7.5 \times 10^{-2}$	
Reflector reflection	$\rho_3$	0.04		Envelope radius	$R_2$	$10 \times 10^{-2}$	
Reflector reflection	$\rho_4$	0.10		Receiver - deep gap	$g$	$5 \times 10^{-3}$	



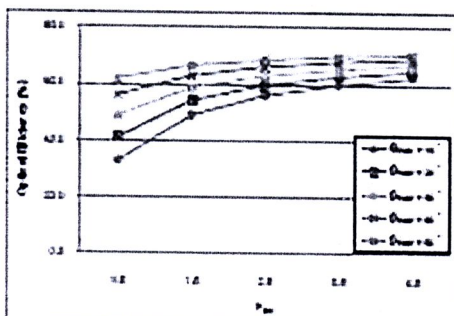


## ผลการศึกษา

ผลที่ได้จากการวิเคราะห์ (1) แบบจำลองภาพ  
คอมพิวเตอร์ของผู้ทรงค่าครองที่ 2 ดังรูป 3

ตารางที่ 2 ผลการคำนวณเมื่อปรับปรุงเก็บน้ำมุ่งรั้นบัว  
(a.)

Parameter	Value
$\theta_{\text{out}} (\text{hours})$	12 20 30 40 50
12	0.76 0.97 2.00 1.96 1.91
20	0.22 0.28 0.27 0.17 0.12
30	0.91 0.34 0.28 0.19 0.18
40	1.34 1.02 1.15 0.87 0.77
50	0.80 0.50 0.40 0.30 0.20
กําลัง $P_{\text{out}} = 0.2$	0.00 0.01 0.02 0.03 0.04
กําลัง $P_{\text{out}} = 0.5$	0.02 0.01 0.02 0.03 0.04
กําลัง $P_{\text{out}} = 0.8$	0.01 0.02 0.03 0.04 0.05
กําลัง $P_{\text{out}} = 1.2$	0.00 0.01 0.02 0.03 0.04
กําลัง $P_{\text{out}} = 1.5$	0.01 0.02 0.03 0.04 0.05

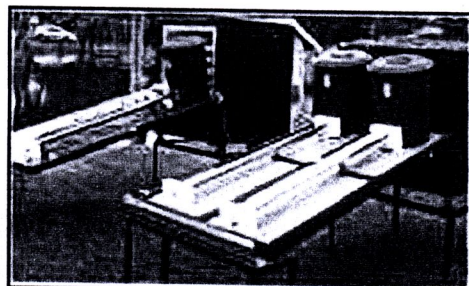


รูป 3 การคำนวณเพื่อหาค่าคงคลัง ( $P_{\text{out}}$ )  
เมื่อปรับปรุงค่า  $\theta_{\text{out}}$  และ  $L_{\text{min}}$

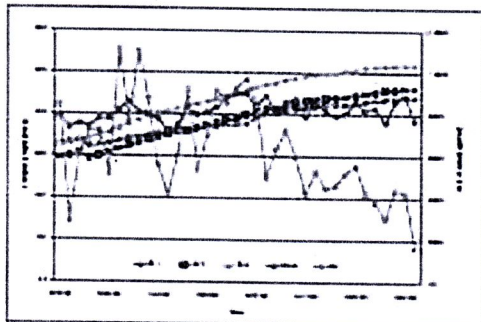
จากตาราง 2 และรูป 3 พบว่า เมื่อกำหนดให้ค่า  
ของเก็บน้ำมุ่งรั้นบัว (a.) และค่าอัตราเร็วซึ่งต้องต่อตัว  
ภายนอก ( $F_{\text{out}}$ ) เพิ่มขึ้นจะส่งผลให้ปรับปรุงการทำงาน  
ห้องน้ำด้วยการต่อตัวเก็บน้ำมุ่งรูปไปทางนอก  
หาราไมราเดียร์ชีน โดยเมื่อกำหนดให้ค่าของเก็บน้ำรั้นบัว  
(a.) และค่าอัตราเร็วซึ่งต้องต่อตัวภายนอก ( $F_{\text{out}}$ ) ผู้  
ค่าเท่ากับ  $50^{\circ}$  และ  $4.5$  ตามลำดับ จะส่งผลให้  
ปรับปรุงการทำงานห้องน้ำด้วยห้องน้ำด้วยห้องน้ำ  
เดียร์ชีนได้มากกว่า  $70.4\%$

## กลุ่มวิจัยวิทยาศาสตร์และเทคโนโลยี

(2) ผลของการต่อตัวเก็บน้ำสี  
อาทิตย์และน้ำร้อนประกอบอาหารในเวลา 10.00-15.00 น. ของวันที่  
29/03/2554 แสดงดังรูป 5 ดังนี้



รูป 5 การทดสอบเมื่อต่อตัวเก็บน้ำสีอาทิตย์  
ด้วยห้องน้ำและอาหาร



รูป 6 การคำนวณเพื่อยกตัวเก็บน้ำรั้นบัวที่มีค่าใช้  
จ่ายรวมที่สำหรับห้องน้ำ (29/03/2554)

จากรูป 6 พบว่า อุณหภูมิน้ำร้อนพื้นในห้องน้ำ  
ประมาณ  $30^{\circ}\text{C}$  ตัวเก็บน้ำรั้นบัวที่มีค่าใช้จ่ายรวมที่  
ต่อตัวเก็บน้ำรั้นบัวที่มีค่าใช้จ่ายรวมที่ต่อตัวภายนอก  
ประมาณ  $30^{\circ}\text{C}$  ของห้องน้ำที่ต่อตัวภายนอกน้ำร้อนโดยอุณหภูมิ  
อุ่นเท่ากับ  $51.9^{\circ}\text{C}$  และ  $46.3^{\circ}\text{C}$  ติดปีกเว้นวันทำงาน  
ต่อตัวภายนอกน้ำร้อนเท่ากับ  $1,630$  และ  $1,360$  น.  
หมายถึง การเมื่อห้องน้ำเก็บน้ำรั้นบัวที่ต่อตัวภายนอก  
อุณหภูมิที่ไม่มีระบบห้องน้ำและห้องน้ำด้วยห้องน้ำ  
เดียร์ชีนที่ต่อตัวภายนอกน้ำร้อนโดยอุณหภูมิห้องน้ำร้อนเท่ากับ  
อุณหภูมิห้องน้ำเดียร์ชีน  $44.1^{\circ}\text{C}$  ติดปีกเว้นวันทำงาน  
ต่อตัวภายนอกน้ำร้อนที่ต่อตัวภายนอกน้ำร้อนเท่ากับ  $1,174$  น. ซึ่งนี้หาก  
ห้องน้ำต่อตัวภายนอกน้ำร้อนที่ต่อตัวภายนอกน้ำร้อนเท่ากับ



**รายการสัญลักษณ์**

- A : พื้นที่รับรังสี ( $\text{Aerosol Area, m}^2$ )
- BC : ค่าเบียนรักษาภาระโดยรวม
- CR : ค่าความต้านทานรังสี
- C<sub>r</sub> : ค่าความรุกวนรังสีของผ้าห่มรองน้ำ (kg/m<sup>2</sup>)
- C<sub>s</sub> : เส้นผ่านศูนย์กลางห้อง (m)
- FR : ค่าปัจจุบันภาระน้ำค่าความต้านทานไร้ (Mean Removal Factor)
- F<sub>r</sub> : ค่าความต้านทานห้องบ้านเรือน (W/m<sup>2</sup>)
- F<sub>s</sub> : ค่าความต้านทานห้องรองน้ำ (W)
- R : ค่าปรับอิทธิพลการหักเหแสง (Reflection or Refraction) ของผ้าห่มรองน้ำที่ดูดซึมน้ำ
- S<sub>r</sub> : ค่าอัตราผ้าห่มรองน้ำที่ดูดซึมน้ำ (%)
- T<sub>r</sub> : ค่าเส้นรอบวง (m)
- V<sub>r</sub> : ค่าความสามารถรับรังสีของผ้าห่มรองน้ำที่ดูดซึมน้ำ (W/m<sup>2</sup>) ( $= 10000, 1$ )
- W<sub>r</sub> : ค่าปัจจุบันอิทธิพลของห้องรองน้ำที่ดูดซึมน้ำที่ดูดซึมน้ำ (W/m<sup>2</sup>-K)
- α<sub>r</sub> : อัตราข้อจำกัดรังสี (Acceptance Half Angle)
- ρ<sub>r</sub> : ค่าทางเดินที่ดูดซึมน้ำที่ดูดซึมน้ำที่ดูดซึมน้ำ (%) ค่าองค์รวมปัจจัยที่ดูดซึมน้ำของผ้าห่มรองน้ำที่ดูดซึมน้ำ (%) และค่าพื้นที่ห้องรองน้ำที่ดูดซึมน้ำ (%)
- γ<sub>r</sub> : ค่าความต้านทานภาระห้องรองน้ำที่ดูดซึมน้ำ



